

Я.О. Довгий¹, І.М. Хомич²

Синтез та використання багатошарових інтерференційних фільтрів для позарезонаторної селекції ліній генерації „білих” лазерів

¹Львівський національний університет імені Івана Франка
вул. Кирила і Мефодія, 8, Львів, 79005, Україна
e-mail: dovgy@physics.wups.lviv.ua

²Український державний науково-дослідний інститут „Еротрон” (м.Львів)
вул. Антоновича, 90, Львів, 79057, Україна

Пропонується позарезонаторний метод селекції ліній генерації гелій-селенового лазера у видимому діапазоні спектра. Метод базується на ефекті спектрального зміщення смуги відбивання спеціально розрахованого та виготовленого 15-шарового вузькосмугового фільтра при зміні кута падіння лазерного пучка.

Ключові слова: багатошарові діелектричні покриття, „білі” лазери, селекція ліній генерації, синтез лазерних дзеркал.

Стаття постуила до редакції 10.03.2009; прийнята до друку 15.12.2009.

Вступ

Лазери, що одночасно генерують у широкій ділянці видимого спектра або на багатьох дискретних лініях генерації – так звані „білі” лазери – нині широко використовуються в голографічних технологіях, у фотобіології та медицині, в оптичній томографії, мікроскопії і навіть у лазерному шоу-бізнесі. Є два класи таких лазерів. Базовим генератором першого типу „білих” лазерів є фемтолазер, надкороткий ІЧ-імпульс якого при проходженні крізь фотонно-кристалічне волокно суттєво спектрально розширюється, даючи на виході континуум білого світла. У наших дослідях використано другий тип „білого” лазера – гелій-селенові лазери. Вони генерують одночасно на декількох десятках переходів у SeII в області 0,44 – 1,25 мкм [1]. Найінтенсивніші лінії генерації цих лазерів подані в таблиці.

В даній роботі пропонується простий позарезонаторний метод селекції ліній генерації у широкому діапазоні видимої ділянки спектра. Метод базується на ефекті спектрального переміщення смуги відбивання багатошарового тонкоплівкового інтерференційного вузькосмугового фільтра при зміні кута падіння лазерного пучка.

Розрахунок багатошаровика здійснювався з використанням методу колових діаграм [2], в основі якого – узагальнені рекурентні співвідношення для

амплітудних коефіцієнтів відбивання $r(\lambda, \varphi, d)$ і пропускання $t(\lambda, \varphi, d)$:

$$r(\lambda, \varphi, d) = \frac{r_k + r_{k+1} e^{2i\beta_{k+1}}}{1 + r_{k+1} e^{2i\beta_{k+1}}}, \quad (1)$$

$$t(\lambda, \varphi, d) = \frac{t_k t_{k+1} e^{i\beta_k}}{1 + r_k r_{k+1} e^{2i\beta_k}}, \quad (2)$$

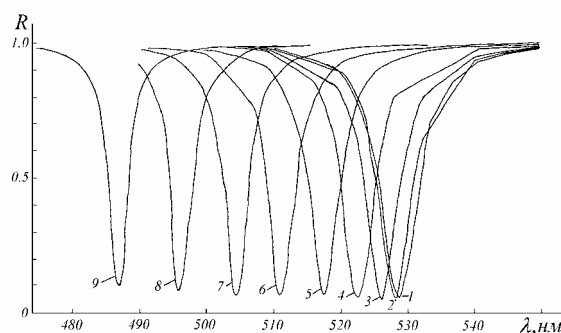


Рис. 1. Зміни спектральних характеристик 15-шарового інтерференційного світлофільтра у залежності від кута падіння: 1 – $\varphi = 0^\circ$, 2 – $\varphi = 5^\circ$, 3 – $\varphi = 10^\circ$, 4 – $\varphi = 15^\circ$, 5 – $\varphi = 20^\circ$, 6 – $\varphi = 25^\circ$, 7 – $\varphi = 30^\circ$, 8 – $\varphi = 35^\circ$, 9 – $\varphi = 40^\circ$.

де r_k – френелівський амплітудний коефіцієнт відбивання від k -ої межі розділу між k -им і $(k+1)$ -им шарами, $\beta_k = (2\pi/\lambda) d_k (n_k^2 - \sin^2 \varphi)^{1/2}$, d_k – товщина

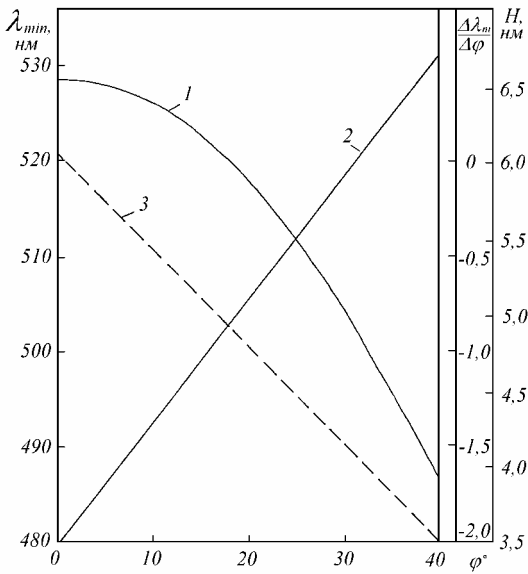


Рис. 2. Кутові зміни параметрів смуги відбивання багат шаровика: 1 – λ_{min} ; 2 – H ; 3 – $\Delta\lambda_{min}/\lambda_{min}$.

k -го шару, n_k – комплексний показник заломлення k -го шару, λ – довжина хвилі випромінювання, що падає на багат шаровик з вакууму під кутом φ .

Проблема оптимізованого синтезу багат шаровиків зводиться до встановлення умов набуття екстремумів цільових функцій $r(\lambda, \varphi, d)$ або $t(\lambda, \varphi, d)$ у залежності від призначення багат шаровиків. Якщо для лазерних дзеркал чи для цілей просвітлення оптики пробною є функція $r(\lambda, \varphi, d)$ [3,4], то для наших цілей це може бути як функція

$r(\lambda, \varphi, d)$, так і функція $t(\lambda, \varphi, d)$. Ця багатпараметрична задача (йдеться про варіацію параметрів λ, φ і d) є непростою навіть за умови ідеально гладких міжшарових меж. Якщо ж є необхідність враховувати ще й параметри шорсткості σ_k , задача суттєво ускладнюється. У першому наближенні відповідні поправки на цей предмет можна було б врахувати за допомогою ефективних факторів Дебая-Валлера [3].

Співвідношення (1)–(2), що отримані у рамках квазікласичного наближення, а також розроблений на їх основі метод колових діаграм виявилися вельми зручним для вирішення задачі синтезу оптимізованих багат шаровиків [5].

За спеціальною програмою шляхом комп'ютерного моделювання при варіації таких параметрів, як кількість шарів (13 ÷ 19), їх почерговість, показники заломлення (у першу чергу підбір компонент з високими показниками заломлення – $\text{TiO}_2, \text{HfO}_2, \text{ZnS}, \text{ZrO}_2$ та ін., – для яких в даній області спектра $n \approx 2,0 \div 2,35$) оптимізувалися умови синтезу інтерференційного фільтра.

Для селекції ліній генерації гелій-селенового лазера була змодельована 15-шарова система, що відповідала формулі

$$n_1 |(BH)^4 (HB)^4| n_2, \quad (3)$$

де n_1 – показник заломлення повітря ($n_1 \equiv 1$), B – четвертьхвильова плівка TiO_2 ($n = 2,30$), H – четвертьхвильова плівка SiO_2 ($n = 1,46$), n_2 – показник заломлення підкладки (скло, $n_2 = 1,52$). Для інших комбінацій (наприклад, $\text{HfO}_2 - \text{SiO}_2, \text{ZrO}_2 - \text{SiO}_2$) формула (3) відповідає конкретним вимогам щодо використання багат шаровиків.

Напилення проводилося на установці А1504

Таблиця

Лінії генерації і квантові переходи в He-Se лазерах

Довжина хвилі, нм	Перехід	Довжина хвилі, нм	Перехід
446,76	$5s^2P_{1/2} - 5p^2P_{1/2}$	559,11	$5s^2P_{1/2} - 5p^4P_{3/2}$
460,43	$5s^4P_{5/2} - 5p^2D_{5/2}$	562,31	$5s^4P_{1/2} - 5p^4P_{1/2}$
461,87	$5s^4P_{3/2} - 5p^4D_{5/2}$	569,78	$5s^4P_{3/2} - 5p^4D_{1/2}$
464,84	$5s^4P_{1/2} - 5p^4P_{3/2}$	574,76	$5s^4P_{5/2} - 5p^4D_{5/2}$
471,82	$5p^2D_{5/2} - 5d^4F_{3/2}$	584,26	$4p^4P_{3/2} - 5p^2S_{1/2}$
474,09	$4p^4P_{3/2} - 5p^2P_{3/2}$	586,62	$5s^2P_{3/2} - 5p^4P_{5/2}$
476,36	$5s^4P_{3/2} - 5p^2D_{3/2}$	605,59	$5s^2P_{1/2} - 5p^2P_{3/2}$
476,55	$4p^4P_{3/2} - 5p^2P_{1/2}$	606,58	$4p^4P_{3/2} - 5p^4P_{3/2}$
484,06	$5s^4P_{5/2} - 5p^2S_{1/2}$	610,19	$5s^2P_{3/2} - 5p^2D_{3/2}$
484,49	$5s^4P_{5/2} - 5p^4S_{3/2}$	644,42	$5s^4P_{1/2} - 5p^2D_{5/2}$
497,56	$5s^2P_{1/2} - 5p^4S_{3/2}$	649,05	$5s^2P_{1/2} - 5p^4D_{1/2}$
499,27	$5s^4P_{3/2} - 5p^2P_{3/2}$	653,49	$5s^2P_{3/2} - 5p^2P_{1/2}$
506,86	$5s^4P_{5/2} - 5p^4P_{5/2}$	706,40	$5s^2P_{1/2} - 5p^4P_{1/2}$
509,65	$4d^4F_{9/2} - 5p^4D_{7/2}$	739,19	$5p^2D_{5/2} - 4p^26s^2P_{3/2}$
514,21	$5s^4P_{1/2} - 5p^4D_{3/2}$	767,48	$5s^2D_{5/2} - 5p^2P_{3/2}$
517,59	$5p^4D_{3/2} - 4p^26s^4P_{1/2}$	772,40	$5s^2P_{3/2} - 5p^4D_{1/2}$
522,75	$5s^4P_{5/2} - 5p^4D_{7/2}$	779,61	$5s^2D_{3/2} - 5p^2P_{1/2}$
525,36	$5s^4P_{1/2} - 5p^4D_{1/2}$	783,88	$4p^4P_{3/2} - 5p^4P_{1/2}$
527,12	$5s^2D_{3/2} - 5p^2D_{5/2}$	830,95	$5s^2D_{5/2} - 5p^2D_{5/2}$
530,53	$5s^2P_{1/2} - 5p^2D_{3/2}$	995,50	$5s^2D_{5/2} - 5p^4D_{5/2}$
552,24	$5s^4P_{5/2} - 5p^4P_{3/2}$	1040,90	$4p^4P_{3/2} - 5p^4D_{1/2}$
556,69	$5s^4P_{3/2} - 5p^4D_{3/2}$	1259,70	$5s^2D_{3/2} - 5p^2P_{1/2}$

фірми „Leybold AG”. Режим напilenня: електронно-променевий випарник, швидкість нанесення плівки $\text{TiO}_2 - 0,25 \text{ nm/s}$, $\text{SiO}_2 - 0,40 \text{ nm/s}$. Тиск O_2 в камері – 10^{-5} тор, температура підкладки витримувалась строго 300°C . Установка автоватизована.

На рис. 1 показані спектральні характеристики одержаного багатошаровика при різних кутах падіння світла φ . Коефіцієнти відбивання R вимірювали на прецизійній спектrophотометричній установці „Lambda-2” фірми Perkin-Elmer з точністю $\pm 0,1\%$. Зміни параметрів смуги відбивання (спектральне положення мінімуму смуги λ_{\min} , напівширини H смуги відбивання та відношення

$\Delta\lambda_{\min}/\Delta\varphi$) у залежності від φ (рис. 2) вказують, що інтерференційні фільтри такого типу можуть використовуватися як зовнішні приставки для селекції потрібних ліній генерації в „білих” лазерах при їх застосуванні, наприклад, в оптичній томографії або в схемах кольорового голографування.

Довгий Я.О. – доктор фізико-математичних наук, професор;
Хомич І.М. – науковий співробітник.

- [1] Я.О. Довгий, М.К. Заморский, И.В. Китык, В.Л. Колтун. Гелий-селеновые лазеры. (Обзор) // *Квантовая электроника*, **39**, сс. 14-25 (1990).
- [2] Я.О. Довгий, Б.В. Микитюк. Розрахунок відбивної здатності багатошарових діелектричних дзеркал з використанням діаграмної методики // *Доповіді АН України. Сер.А*, (4), сс. 62-64 (1983).
- [3] Д.С. Буренков, Ю.А. Успенский, И.А. Артюков, А.В. Виноградов. Алгоритм для вычисления оптимальных параметров многослойных аперiodических зеркал, предназначенных для мягкого рентгеновского диапазона // *Квантовая электроника*, **35**(2), сс.195-199 (2005).
- [4] Ю.О. Первак, И.В. Фекешгазі. Просвітлюючі покриття на основі симетричних періодів // *Укр. фіз. журнал*, **39**(9-10), сс. 934-037 (1994).
- [5] Я.М. Бондарчук, Я.О. Довгий. Теоретичні і технологічні аспекти синтезу лазерних дзеркал. (Огляд) // *Фізика і хімія твердого тіла*, **3**(2), сс. 199-214 (2002).

Ya.O. Dovhyj¹, I.M. Homych²

Synthesis and Use of Multilayer Interference Filters for Outside Rezonator Selection the Lines of Generation the „White” Lasers

¹Ivan Franko Lviv National University, 8, Kyrylo and Mefodij Str., Lviv, 79005, Ukraine
e-mail: dovgy@physics.wups.lviv.ua

²Erotron Research Institute (Lviv), 90, Antonovych Str., Lviv, 79057, Ukraine

The outside resonator method of selection the line of generation the “white” He-Se laser has been proposed in the lengs wave of $0.44-1.25 \mu\text{m}$. This method base upon the effect of spectral displacement of reflection band of the special calculated and maked 15-th layers narrow (-band) filter when the angle of incidence of the laser beam was changed.